



Title	分割照射における腫瘍細胞動態のFlow Cytometryによる解析 I. 培養細胞についての検討
Author(s)	酒井, 邦夫; 藤田, 勝三; 日向, 浩 他
Citation	日本医学放射線学会雑誌. 1985, 45(2), p. 393-397
Version Type	VoR
URL	https://hdl.handle.net/11094/17706
rights	
Note	

The University of Osaka Institutional Knowledge Archive : OUKA

<https://ir.library.osaka-u.ac.jp/>

The University of Osaka

分割照射における腫瘍細胞動態の Flow Cytometry による解析

I. 培養細胞についての検討

新潟大学医学部放射線医学教室

*新潟大学医療技術短期大学部

酒井 邦夫 藤田 勝三* 日向 浩
末山 博男 佐藤 洋子

（昭和59年5月21日受付）

（昭和59年7月20日最終原稿受付）

Flow Cytometric Analysis of Cell-kinetics after Fractionated Irradiation

I. A Study on Cultured Mammalian Cells

Kunio Sakai, Shozo Fujita*, Hiroshi Hinata, Hiroo Sueyama and Yoko Sato

Department of Radiology, Niigata University School of Medicine

*College of Biomedical Technology, Niigata University

Research Code No. : 407

Key Words : Flow cytometry, Cell-kinetics, Fractionated irradiation

Cultured mammary carcinoma cells (FM3A) were exposed to 2, 4, 6 and 10 Gy of ^{60}Co γ rays. The cells were stained with propidium iodide 2 to 30 hours after irradiation. The cellular DNA contents were measured by a cytofluorometer. The surviving fractions after fractionated irradiation (2 Gy + 2 Gy) at various intervals were compared with the DNA histograms. The results obtained were as follows.

1. The DNA histogram of exponentially growing cells showed two peaks at 2C (G_1 phase) and 4C ($G_2 + M$ phases).
2. In every dose group, cell accumulation at the $G_2 + M$ phases occurred at 6 hours after irradiation. The histogram pattern of cells exposed to 2 Gy returned to the unirradiated one within 15 hours after irradiation. When the doses were more than 4 Gy, cell accumulation into $G_2 + M$ phases persisted even at 15 hours after irradiation.
3. Surviving fractions after two equally fractionated irradiation of 4 Gy increased at time interval upto 4 hours, and decreased in 8 to 10 hours intervals. This is considered to be due to partial synchronization of cell cycle at radiosensitive phase, corresponding to the cell accumulation at the $G_2 + M$ phases.
4. Flow cytometric analysis of cell-kinetics of tumor cells was considered to be valuable in the determination of optimum time intervals in fractionated irradiation.

I. 目的

がんの放射線療法や化学療法を行うにあたり，

感受性の差を利用してより効果的な治療を実施で

きる可能性がある。

腫瘍細胞の動態が把握できれば、細胞周期による

近年、細胞内DNA含量を蛍光量におきかえて，

細胞1個1個の相対的DNA量を短時間に測定するflow cytometry(FCM)が開発され、細胞動態の研究や化学療法によるがん治療などの分野で急速に普及しつつある。

本論文では、培養細胞について、FCMにより放射線照射後の細胞動態を解析し、その結果を2分割照射後の細胞致死効果と対比して報告する。

II. 材料および方法

培養細胞はFM3A(C3Hマウス乳癌由来)を使用した。継代培養は、イーグルMEM培地(牛血清10%添加)を用い、37°C炭酸ガスインキュベタ内で行った。

放射線照射はコバルト遠隔照射装置で行った。細胞浮遊液(細胞濃度 4.2×10^5 cells/ml)20mlを底面積25cm²のフラスコ(Nunc, 163371)に入れ、密栓して5mm厚アクリル板にのせ、下方から線量率0.8Gy/分で2, 4, 6, 10Gyずつ照射した。各照射群について、照射2~30時間後にPI液(ヨウ化プロピジウム0.05mg/0.1%クエン酸ナトリウム1ml)¹⁾で4°C、1時間以上細胞のDNA染色を行った。

DNA量測定は、米国Ortho社製Cytofluorograf(ICP22A)を行った。本装置は、コンプレッサーで加圧注入したトランス液とシース液の層流を利用して、細胞1個ずつが200μmの穴を通過するとき、水銀アーキランプの紫外線でDNAにとり込まれた蛍光色素を励起し、その蛍光量から相対的DNA量を測定するものである。毎秒1,000個の細胞を測定することができる。装置の調整には、直径10μmで蛍光量が異なる2種類の蛍光体(ラテックス、相対的蛍光量1/8, 8/8)を用いた。細胞試料に内部標準蛍光体として1/8ラテックスを適量添加した。細胞10,000個の相対的DNA量を測定してDNAヒストグラムを得た。これにより、細胞周期各期の百分率を算出して細胞動態の解析を行った。

2分割照射後の細胞生存率はコロニー法で求めた。0.25%寒天培地を用い、ディッシュ当たり100個の細胞を植え、照射後8日間のインキュベーションを行い、倒立顕微鏡(倍率40)を用いてコロニー数をかぞえた。非照射細胞のコロニー形成率は

93.8%であった。

III. 結 果

1) 非照射細胞のDNAヒストグラム

正常ヒト末梢血から遠心法により分離したリンパ球とFM3A細胞(細胞濃度 4.2×10^5 cells/ml)のDNAヒストグラムをFig. 1に示す。横軸はチャンネル数(相対的DNA量)、縦軸はそれに対応する細胞数をあらわす。増殖しないリンパ球は100chに集中している。

対数増殖期にあるFM3A細胞は、120ch(2C, G₁期)に第1ピーク、220ch(4C, G₂+M期)に第2ピークを有する2峰性パターンを示した。左方の低いピークは試料に添加したラテックスで、これが常に25chになるようにgainを設定した。このヒストグラムから赤木ら²⁾の方法により、細胞周期各期の百分率を算定した(Fig. 2)。細胞濃度 4.2×10^5 cells/mlの場合、G₁期53.0%, S期34.3%, G₂+M期12.7%であった。

2) 細胞濃度によるDNAヒストグラムの変化

FM3A細胞の増殖曲線といろいろな細胞濃度におけるDNAヒストグラムをFig. 3に示す。細

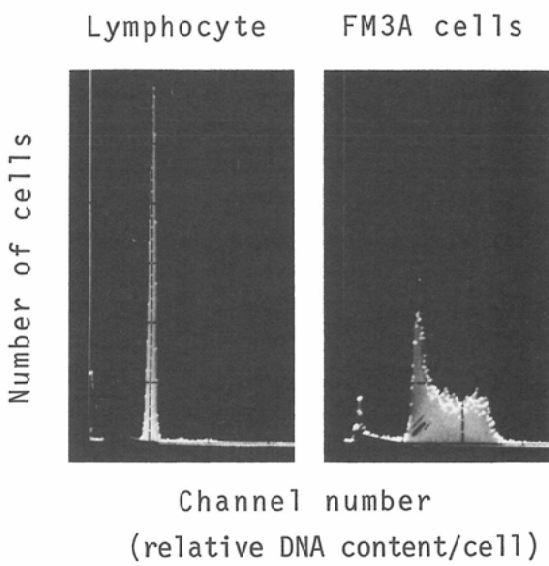


Fig. 1 DNA histograms of human lymphocytes (left side) and cultured cells derived from murine mammary carcinoma, FM3A (right side).
(relative DNA content/cell)

The DNA histograms of other figures (Fig. 2, 3 and 4) use the same ordinate and abscissa.

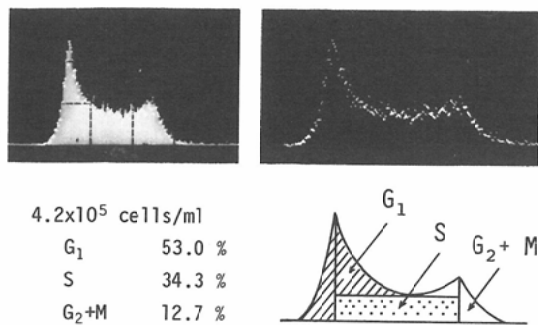


Fig. 2 Schematic illustration of the method to determine the cell cycle distribution from DNA histogram

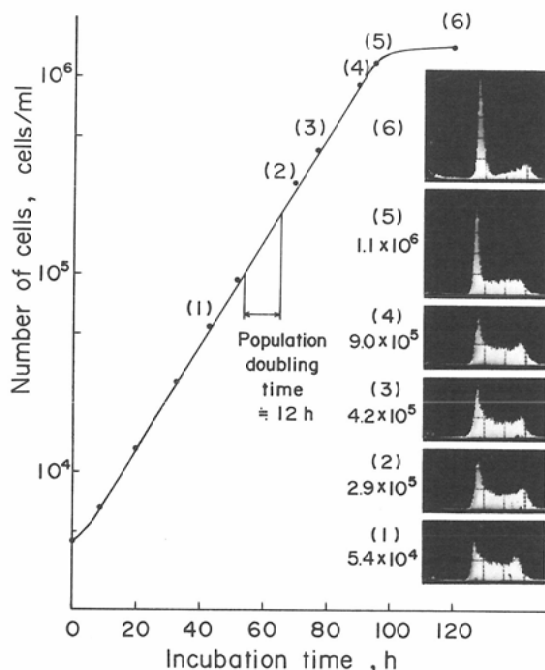


Fig. 3 Growth curve of FM3A cells and DNA histograms of the cells at various concentrations

Population doubling time of the cells was about 12 hours. The DNA histograms of exponentially growing cells showed two peaks at 2C (G₁ phase) and 4C (G₂+M phases) with somewhat predominant one at 2C.

細胞増殖は10⁶ cells/mlまで対数的で、細胞集団の倍加時間(population doubling time)は約12時間であった。

DNAヒストグラムは、細胞濃度が10⁴~10⁵ cells/ml後半までほぼ類似のパターンを示し、10⁶

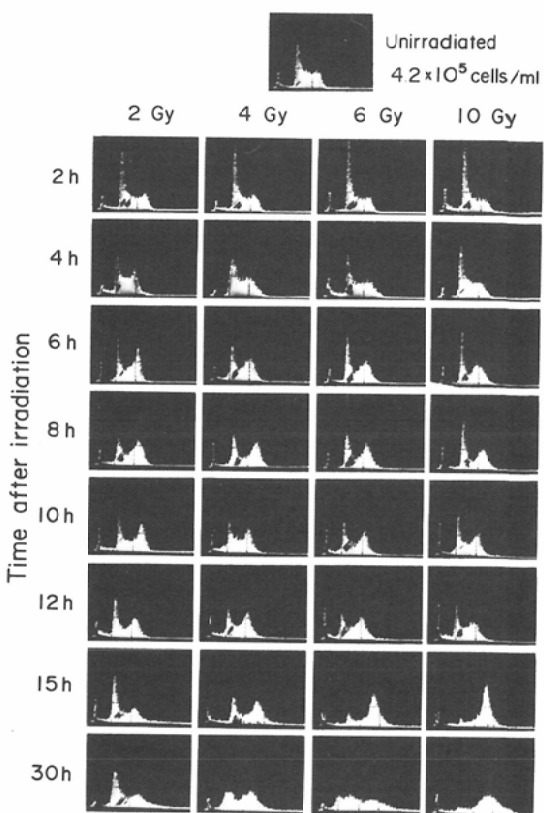


Fig. 4 DNA histograms of FM3A cells exposed to 2, 4, 6 and 10 Gy

The cells were sequentially collected at specified times after irradiation, stained with PI solution and determined for cellular DNA content.

cells/mlに達すると2Cの増加傾向ならびに3Cおよび4Cの減少傾向がみられた。plateau phaseに達するとそれらの傾向はさらに顕著となる。

3) 照射によるDNAヒストグラムの変化

Fig. 4, 5に、2, 4, 6, 10Gy照射後のDNAヒストグラムと細胞周期の百分率の経時的变化を示した。いずれの線量においても、照射4時間後にS期の増加がみられ、次いで照射6時間後からG₂+M期への蓄積がはじまる。8時間後にはG₂+M期は約40%に達している。

2Gy照射では、G₂+M期は12時間後に減少はじめ、15時間後では非照射群のパターンにほぼ復帰している。4, 6, 10Gy照射では、15時間後においてもG₂+M期への蓄積は持続し、線量の増加

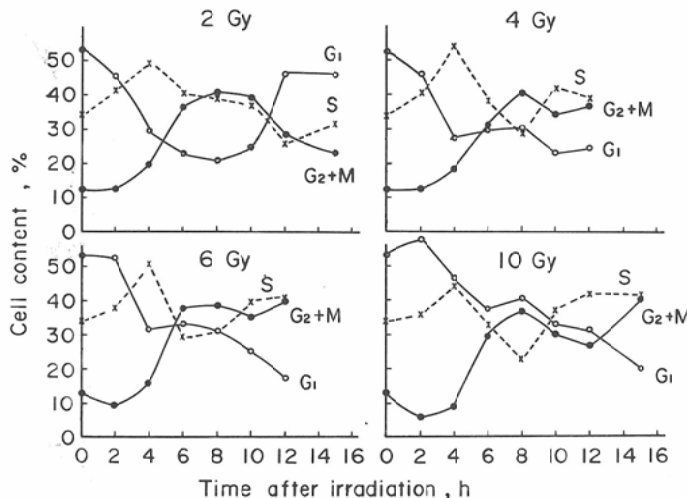


Fig. 5 Sequential changes of cells in G₁, S and G₂+ M phases after irradiation

In every dose group, cell accumulation into G₂+ M phases was noted to occur at 6 hours after irradiation.

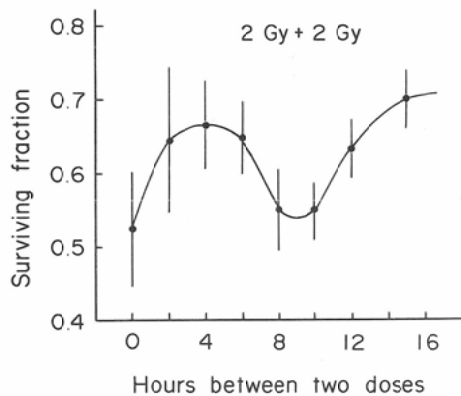


Fig. 6 Surviving fractions of FM3A cells after fractionated irradiation (2Gy+2Gy) at various time intervals

に伴って5C, 6Cの成分が出現している。

4) 分割照射間隔の細胞生存率への影響

4Gyを均等に2回に分割し、0~15時間の間隔をおいて照射した。照射間隔0時間、すなわち4Gy1回照射のときの細胞生存率は52.5%であった。細胞生存率は、照射間隔が4時間までは増加するが8~10時間で減少し、それ以上になると再び増加している(Fig. 6)。

IV. 考 案

がんの放射線治療では、通常は均等分割照射法

が用いられている。しかし、細胞の放射線感受性は細胞周期によって異なることが知られているので³⁾、照射による細胞動態を把握し、それに基づいた線量配分が確立できれば、より効果的な治療を行ひ得ると考えられる。

細胞動態の解析には、従来微速度映画撮影、顕微分光度計を用いる方法やオートラジオグラフィーが用いられていたが、これらは多大の時間と労力を要するという欠点があった。本研究で使用したFCM装置には、細胞のDNA量を毎秒1,000個という極めて高速で測定できるという利点がある。ただし、測定時に細胞が1個1個分散していかなければならないという制約がある。本研究で使用したFM3A細胞は、懸濁培養であるために容易に単離細胞となる。このことは、DNA染色後に蛍光顕微鏡で確認された。

FM3A細胞を照射すると、照射6時間後にG₂+M期への蓄積がはじまり、線量の増加に伴い蓄積時間は延長する。赤木らも⁴⁾、HeLa細胞に300, 600, 900 rad照射し、線量の増加に従ってG₂+M期への蓄積が長く続くことを報告している。また、窪田⁵⁾は、HeLa細胞に2.3, 10Gy照射し、照射後のS期の増加とそれに引き続いたG₂+M期への蓄積を観察し、その蓄積時間が線量に依

存している可能性をのべている。

2Gy 照射では、照射15時間後には非照射群のパターンに復帰したが、4Gy 以上の照射群では復帰せず、照射30時間後には5C, 6C の成分の出現がみられた。5C, 6C 成分の多い試料をオルセイン染色により観察したところ、2核細胞や巨細胞が多く認められた⁶⁾。

分割照射の細胞致死効果については、Elkind ら⁷⁾の実験がよく知られている。照射間隔による細胞生存率の変化は、亜致死障害の回復と細胞周期によって説明されている。

FCM による細胞動態解析の結果、2Gy 照射では照射 6 時間後から G₂+M 期への蓄積がはじまり、8~10時間後にピークに達することが示された。一方、2Gy+2Gy の 2 分割照射の細胞致死効果をみると、細胞周期の同調による生存率減少は、照射間隔 8~10時間において認められることが示された。これらのことから、DNA ヒストグラムの変化 (G₂+M 期への蓄積) と細胞周期の同調効果とが対応していることが推測される。すなわち、分割照射においては、照射後の DNA ヒストグラムを観察することにより、G₂+M 期への蓄積が最大となる時点で次の照射を行えば、細胞周期の同調による照射効果の向上がもたらされる可能性がある。この点は分割照射における至適照射間隔を定める上で極めて重要な意義があるので、移植腫瘍等を対象としてさらに検討をすすめるべき課題であると思われる。

V. 結 語

FM3A 細胞に⁶⁰Co γ 線を 2, 4, 6, 10Gy 照射し、FCM による細胞動態の解析を行った。また、コロニー法により分割照射の細胞生存率を求め、FCM による細胞動態の解析結果と対比した。

1. 非照射細胞の DNA ヒストグラムは、対数増殖期にあるものは2C (G₁期) と4C (G₂+M 期) にピークを有し、2C がやや優位の 2 峰性パターンであった。plateau phase に達すると2C が更に優位となり、3C, 4C の成分が減少した。

2. 対数増殖期にある細胞は、照射により、6 時間後から G₂+M 期への蓄積がはじまり、8 時間

後には約40%に達した。2Gy では、照射15時間後には非照射群のパターンにほぼ復帰したが、4Gy 以上では15時間後においても G₂+M 期への蓄積は持続し、線量の増加に伴って5C, 6C の成分が出現した。

3. 4Gy の均等 2 分割照射における細胞生存率は、照射間隔が 4 時間までは増加するが、8~10 時間で減少し、それ以上になると再び増加した。細胞周期の同調による生存率減少と FCM での G₂+M 期への蓄積現象とは時間的に対応していることが示された。

4. FCM による細胞動態の解析は、分割照射における時間的線量配分の検討に役立つことが示された。

本研究は、文部省科学研究費（課題番号57440057）の援助を受けた。論文の要旨は、第68回日本医学放射線学会北日本地方会および第23回日本医学放射線学会生物部会において発表した。

文 献

- 1) Krishan, A.: Rapid flow cytofluorometric analysis of mammalian cell cycle by propidium iodide staining. *J. Cell Biol.*, 66: 188-193, 1975
- 2) 赤木 清, 田中敬正: Flow cytometryによる細胞動態の解析—特に G₀Fractionについて—。文部省科学研究費, がん特別研究 I, 昭和57年度研究報告書“腫瘍治療における細胞動態学的基礎および応用に関する研究”, 24-31, 1982
- 3) Terasima, T. and Tolmach, L.J.: Changes in x-ray sensitivity of HeLa cells during the division cycle. *Nature*, 190: 1210-1211, 1961
- 4) 赤木 清, 中沢 緑, 村田貴央, 白石友邦, 滝磨 敏三, 沢田 敏, 長谷川武夫, 田中敬正: FCM による腫瘍細胞動態に対する放射線効果の解析。癌の臨床, 27: 1523-1527, 1981
- 5) 齋田宣夫: HeLa 細胞の Cell Cycle Progression に対する Hyperthermia と放射線の影響。日本医学会誌, 42: 188-199, 1981
- 6) Hurwitz, C. and Tolmach, L.J.: Time-lapse cinemicrographic studies of X-irradiated HeLa S₃ cells. II. Cell fusion. *Biophysical J.*, 9: 1131-1143, 1963
- 7) Elkind, M.M. and Sutton, H.: Radiation response of mammalian cells grown in culture. 1. Repair of X-ray damage in surviving Chinese hamster cells. *Radiat. Res.*, 13: 556-593, 1960